

# 지능 로봇 비전을 위한 모멘트 기반 영상 사형 정보 예측

## A Moment Based Image Affine Information Estimation for Intelligent Robot Vision

강환일<sup>^</sup>, 임승철<sup>\*</sup>, 황원영<sup>&</sup>, 신대진

<sup>^</sup>&\$명지대학교 정보공학과, <sup>\*</sup>명지대학교 기계공학과

Hwan-Il Kang, Seung-Chul Lim, Won-Young Hwang, Daejeen Shin

<sup>^</sup>&\$Dept. of Information Eng., <sup>\*</sup>Dept. of Mechanical Eng.

Myongji University

E-mail : {hwan, slim}@mju.ac.kr, 1978polo@hanmail.net, daejeen@infinity.co.kr

### 요 약

본 논문에서는 기하학적 모멘트를 이용한 영상의 기하학적인 정보 예측 방법을 제안한다. 기준 패턴의 기하학적인 모멘트와 감지 패턴의 기하학적인 모멘트를 이용하여 감지 영상의 선형 이동, 회전, 확대 및 축소를 예측할 수 있다. 또한 XRS 정규화를 통하여 사형 변환된 패턴의 정보를 감지할 수 있다. 실험을 통하여 제안된 방법의 유용성을 보인다.

### 1. 서론

로봇 비전에서 기하학적인 특징을 구하기 위해 최소자승법, 선형 회귀법, 직교 회귀법등이 사용되고 있다 [1, 2]. 본 논문에서는 모멘트를 이용한 영상의 사형(affine) 정보 예측방법을 제안하고자 한다. 우선 회전, 이방성의 확대 및 축소(aspect ratio 변환)등을 기하학적인 모멘트로 표시할 수 있음을 보이고 일반적인 사형 변환인 경우 패턴 인식에서 사용하는 정규화 기법인 XRS 정규화[4, 5]를 이용하여 물체의 사형 변환 정보를 얻고자 한다. 제안된 방법은 성능이 우수한 중앙 연산 장치를 가지고 있는 로봇의 비전에 적용할 수 있다.

### 2. 영상의 기하학적 모멘트와 중앙 모멘트

영상이 주어지면 영상에 관한 모멘트를 다음과 같이 정의 한다. 즉 주어진 영상의 기하학적인 모멘트  $m_{p,q}$ 는

$$m_{p,q} = \sum_{i=1}^N \sum_{j=1}^M i^p j^q f(x,y) \quad (1)$$

으로 정의되며  $f(x,y)$ 는 영상위치  $(i,j)$ 의 픽셀 값이 된다. 이진영상인 경우  $f(x,y)$ 는 0 또는 1의 값을 갖고 8비트의 흑백영상인 경우  $f(x,y)$ 는 0부터 255의 정수 값을 갖는다. 이때 영상의 크기는  $N \times M$ 으로 정의되며 변수  $(p,q)$ 는 영 이상의 정수 값을 갖는다. 또한 영상의 중앙모멘

트[8]를 정의 할수 있으며  $\mu_{p,q}$ 는

$$\mu_{p,q} = \sum_{i=1}^N \sum_{j=1}^M (i - C_i)^p (j - C_j)^q f(x, y) \quad (2)$$

로 정의된다. 이때

$$C_i = \frac{\sum_{i=1}^N \sum_{j=1}^M i f(x, y)}{\sum_{i=1}^N \sum_{j=1}^M f(x, y)}, \quad (3)$$

$$C_j = \frac{\sum_{i=1}^N \sum_{j=1}^M j f(x, y)}{\sum_{i=1}^N \sum_{j=1}^M f(x, y)} \quad (4)$$

로 정의된다. 기준 영상의 기하학적인 모멘트와 중앙모멘트를 각각

$$m_{p,q} (p=0, 1, 2, \dots, q=0, 1, 2, \dots)$$

와  $\mu_{p,q} (p=0, 1, 2, \dots, q=0, 1, 2, \dots)$ 로 정의하고 이 정보는 이미 저장되어 있다고 가정한다. 감지된 영상의 기하학적인 모멘트와 중앙모멘트를 각각

$$m'_{p,q} (p=0, 1, 2, \dots, q=0, 1, 2, \dots)$$

와  $\mu'_{p,q} (p=0, 1, 2, \dots, q=0, 1, 2, \dots)$ 로 정의하자 우선 기존 영상의 x축과 y축의 중심  $C_i$ 와  $C_j$ 를 위의 있는 식으로 구하고 감지된 영상의 x축과 y축의 중심  $C'_i$ 와  $C'_j$ 를 구한다. 이를 이용하여 선형 이동량을 결정할 수 있다. 즉 선형 이동량은

$$\Delta i = C_i - C'_i, \quad \Delta j = C_j - C'_j \quad (5)$$

로 표시된다.

### 3. 기하학적 모멘트를 이용한 변환

보조정리 1 [4] 만약 영상  $f(x_a, y_a)$ 을 균질(homogeneous) 사형(affine)변환 행렬에 의해

$$\begin{bmatrix} x_a \\ y_a \end{bmatrix} = \begin{bmatrix} a_{11} & a_{12} \\ a_{21} & a_{22} \end{bmatrix} \begin{bmatrix} x \\ y \end{bmatrix} \quad (6)$$

영상  $f(x, y)$ 에서 얻을 수 있다.  $\mu(\dots)$ 와  $\mu'(\dots)$ 는 원래 영상과 변환된 영상의 중앙모멘트라고 각각 정의하자. 여기서 변환된 영상의 중앙모멘트는

$$\mu'_{pq} = b \sum_{i=0}^p \binom{p}{i} \binom{q}{j} a_{11}^i \cdot a_{12}^{p-i} \cdot a_{21}^j \cdot a_{22}^{q-j} \cdot \mu_{i+j, p+q-i-j} \quad (7)$$

로 되며  $b = |a_{11}a_{22} - a_{12}a_{21}|$  이다. 또한 기하학적인 모멘트를 이용하여

$$m'_{pq} = b \sum_{i=0}^p \binom{p}{i} \binom{q}{j} a_{11}^i \cdot a_{12}^{p-i} \cdot a_{21}^j \cdot a_{22}^{q-j} \cdot m_{i+j, p+q-i-j} \quad (8)$$

로 나타난다.

### 4. XSR 정규화

균질(homogeneous) 사형(affine) 변환 행렬 A를 x축 치우침, 이방성의 확대축소와 회전 행렬로 분해할 수 있다:

$$A \equiv \begin{bmatrix} \cos \theta & \sin \theta \\ -\sin \theta & \cos \theta \end{bmatrix} \begin{bmatrix} \alpha & 0 \\ 0 & \gamma \end{bmatrix} \begin{bmatrix} 1 & \beta \\ 0 & 1 \end{bmatrix} \quad (9)$$

로 표시되며  $\alpha, \gamma, \beta \in \mathbf{R}$ 과  $\theta \in [0, 2\pi]$ 로 표시된다. 분해법의 유일성[4]을 확인하기 위해  $\det(A) \neq 0$ 이다 이 경우 논문[5, 6]에서는

$$\mu_{11} = 0, \mu_{20} = 0, \mu_{02} = 1, \mu_{30} + \mu_{12} = 0 \quad (10)$$

의 조건을 이용하고 있다. 논문[3, 7]에서는 또 다른 행렬을 이용한다. 즉 x 치우침 행렬이 고유치벡터를 이용한 행렬로 대체된다.

### 5. 영상의 기하학적인 정보의 추출(방법 1)

영상의 중심을 일치시키고 난 후 감지된 영상과 기존 영상과의 관계는 회전만 이루어져 있는 관계와 회전과 이방성의 확대 및 축소로 나누어 생각할 수 있다. 또한 이방성의 확대 및 축소로만 이루어진 경우가 있다. 모든 결합방법을 고려

하여 다음 4가지로 나누어 기하학적인 변형 관련 변수를 구하고자 한다.

$$\begin{bmatrix} a_{11} & a_{12} \\ a_{21} & a_{22} \end{bmatrix} = \begin{bmatrix} a & 0 \\ 0 & b \end{bmatrix} \begin{bmatrix} \cos \theta & \sin \theta \\ -\sin \theta & \cos \theta \end{bmatrix} \quad (15)$$

5.1 회전만 이루어진 경우

영상이 회전만 이루어진 경우 회전각의 예측은 다음과 같다. 우선 기준 영상의 좌표  $\begin{bmatrix} x \\ y \end{bmatrix}$ 와 감지된 영상의 좌표  $\begin{bmatrix} x' \\ y' \end{bmatrix}$ 와의 관계는 다음 행렬

$$\begin{bmatrix} x' \\ y' \end{bmatrix} = A \equiv \begin{bmatrix} a_{11} & a_{12} \\ a_{21} & a_{22} \end{bmatrix} \begin{bmatrix} x \\ y \end{bmatrix} \quad (11)$$

로 정의된다. 이때 두 영상 간의 기하학적인 모멘트는 다음 관계식으로 표현된다.

만약 시계방향으로  $\theta$ 만큼 회전만 허용할 경우

$$A \equiv \begin{bmatrix} a_{11} & a_{12} \\ a_{21} & a_{22} \end{bmatrix} = \begin{bmatrix} \cos \theta & \sin \theta \\ -\sin \theta & \cos \theta \end{bmatrix} \quad (12)$$

로 표현된다. 이때

$$\begin{aligned} m'_{1,0} &= m_{1,0} \cos \theta + m_{0,1} \sin \theta \\ m'_{0,1} &= -m_{1,0} \sin \theta + m_{0,1} \cos \theta \end{aligned} \quad (13)$$

로 표시되며 회전각은

$$\begin{aligned} \cos \theta &= \frac{m'_{1,0} m_{1,0} + m'_{0,1} m_{0,1}}{m^2_{1,0} + m^2_{0,1}} \\ \sin \theta &= \frac{-m_{1,0} m'_{0,1} + m_{0,1} m'_{1,0}}{m^2_{1,0} + m^2_{0,1}} \end{aligned} \quad (14)$$

로 표시되어 각을 구할 수 있다.

5.2 회전이 먼저 이루어지고 이방성의 확대 축소를 행한 경우

회전이 이루어진 후에 확대 축소가 이루어진 경우

이때 중앙 모멘트의 관계식

$$\begin{aligned} m'_{1,0} &= a^2 b m_{1,0} \cos \theta + a^2 b m_{0,1} \sin \theta \\ m'_{0,1} &= a b^2 m_{0,1} \cos \theta - a b^2 m_{1,0} \sin \theta \end{aligned} \quad (16)$$

에서

$$\cos \theta = \frac{b m'_{1,0} m_{1,0} + a m'_{0,1} m_{0,1}}{a^2 b^2 (m^2_{1,0} + m^2_{0,1})} \quad (17)$$

$$\sin \theta = \frac{b m'_{1,0} m_{0,1} + a m'_{0,1} m_{1,0}}{a^2 b^2 (m^2_{1,0} + m^2_{0,1})} \quad (18)$$

이 된다. 여기서 변수  $a, b$ 는 다음과 같이 구할 수 있다. 즉

$$\begin{aligned} m'_{11} &= a b \cos \theta \sin \theta (m_{02} - m_{20}) \\ &\quad + a b (\cos^2 \theta - \sin^2 \theta) m_{11} \end{aligned} \quad (19)$$

이 된다. 식 (17) (18)을 이용하여 식 (19)에서 우선  $a, b$ 를 구한 후 식 (17) (18)식에서  $\theta$ 를 구한다.

5.3 이방성의 확대 축소를 먼저 행한 후 회전이 이루어진 경우

$$A \equiv \begin{bmatrix} a_{11} & a_{12} \\ a_{21} & a_{22} \end{bmatrix} = \begin{bmatrix} \cos \theta & \sin \theta \\ -\sin \theta & \cos \theta \end{bmatrix} \begin{bmatrix} a & 0 \\ 0 & b \end{bmatrix} \quad (20)$$

이 되며 이때 기하학적 모멘트의 관계식은

$$\begin{aligned} m'_{1,0} &= a^2 b m_{1,0} \cos \theta + a b^2 m_{0,1} \sin \theta \\ m'_{0,1} &= a b^2 m_{0,1} \cos \theta - a^2 b m_{1,0} \sin \theta \end{aligned} \quad (21)$$

이 되며 이 경우

$$\cos \theta = \frac{a m'_{1,0} m_{1,0} + b m'_{0,1} m_{0,1}}{a b (a^2 m^2_{1,0} + b^2 m^2_{0,1})} \quad (22)$$

$$\sin \theta = \frac{-am_{1,0}m_{0,1} + bm_{0,1}m_{1,0}}{ab(a^2m_{1,0}^2 + b^2m_{0,1}^2)} \quad (23)$$

이 된다.

$$m_{11} = \cos \theta \sin \theta (b^2 m_{02} - a^2 m_{20}) + ab(\cos^2 \theta - \sin^2 \theta) m_{11} \quad (24)$$

이 된다. 식 (22) (23)을 이용하여 식 (24)에서 우선  $a, b$ 를 구한 후 식 (22) (23)식에서  $\theta$ 를 구한다.

**5.4 이방성의 확대 축소만 이루어진 경우**  
이 경우 행렬 A는

$$A \equiv \begin{bmatrix} a_{11} & a_{12} \\ a_{21} & a_{22} \end{bmatrix} = \begin{bmatrix} a & 0 \\ 0 & b \end{bmatrix} \quad (25)$$

로 표시되며

$$a = \sqrt[3]{\frac{m_{1,0}^2 m_{0,1}}{m_{0,1} m_{1,0}^2}}$$

$$b = \sqrt[3]{\frac{m_{0,1}^2 m_{1,0}}{m_{1,0} m_{0,1}^2}} \quad (26)$$

로 표현된다.

**6. 영상의 사형 정보 예측 (방법2)**

XSR 정규화를 통하여 4개의 변수 즉  $\theta, \alpha, \gamma, \beta$ 의 값을 보고 기준 영상과 감지영상 사이의 사형 정보를 예측할 수 있다. 이 방법은 앞 절에서 설명한 회전, 확대 혹은 축소의 외의 다른 사형 정보 추출을 구할 수 있다. 그 알고리즘은 다음과 같다.

단계1: 기준의 영상을 XSR 정규화를 행한다. 이때 변환 행렬  $A_1$ 이라 하자.

단계2: 감지의 영상의 XSR 정규화를 행하여 이때 변환 행렬  $A_2$ 이라 하자.

단계3: 기준의 영상에서 감지의 영상으로 변환하는 행렬은  $A_2^{-1}A_1$ 이 된다.

단계4: 사형정보 행렬  $A_1 = A_2^{-1}A_1$ 을 얻는다.

**7. 실험**

**7.1 방법1을 이용한 이방성의 확대 축소 정보 예측**

기준 영상이 주어지고 그의 기하학적인 모멘트가 저장되어 있다고 가정하자. 이제 감지된 영상의 이방성의 확대 축소를 구하는 실험을 하고자 한다. 그림 1에는 기준 영상을 표시하고 그림2에는 감지된 영상을 표시한다. 그 영상사이에는 이방성의 확대 축소만 변화가 있으므로 식 (25)를 이용하여 이방성의 확대 축소를 구할 수 있다. 즉 실제로는  $a=1, b=0.5$ 로 영상이 주어진 경우 예측된 값은 식에 의해  $a=0.5006 \quad b=0.9976$ 을 얻는다.



그림 1 기준 영상



그림 2 감지 영상

**7.2 방법2를 이용한 사형 정보 예측의 실험**

기준 영상(그림 3)과 감지 영상(그림4)이 주어지면 XSR 정규화를 통하여

$$A_1 = \begin{bmatrix} 0.4152 & 0.5633 \\ -0.5841 & 0.3770 \end{bmatrix}$$

$$A_2 = \begin{bmatrix} 0.6837 & 0.1245 \\ -0.1348 & 0.7275 \end{bmatrix} \quad (27)$$



그림 3 기준영  
상

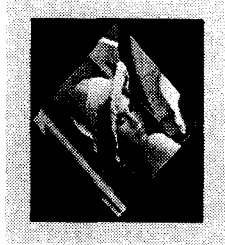


그림 4 감지영  
상

을 얻고 두 영상간의 사형 정보 행렬은

$$A_4 = A_2^{-1} A_1 = \begin{bmatrix} 0.7351 & 0.6428 \\ -0.7276 & 0.6428 \end{bmatrix} \quad (28)$$

를 얻을 수 있다. 이 행렬의 역을 취하면 감지 영상에서 기준의 영상을 얻을 수 있다. 이 실험의 경우 원래 변환 행렬은

$$A = \begin{bmatrix} 0.7071 & 0.7071 \\ -0.7071 & 0.7071 \end{bmatrix} \quad (29)$$

이 된다.

### 8. 결론

본 논문에서는 기하학적 모멘트를 이용한 영상의 기하학적인 정보예측방법을 제안하였다. 기준 패턴의 기하학적인 모멘트와 감지 패턴의 기하학적인 모멘트를 이용하여 감지 영상의 선형 이동, 회전, 확대 및 축소를 예측할 수 있다. 또한 일반 사형 정보는 두 영상 XSR 정규화 하여 사형정보를 예측할 수 있다. 실험을 통하여 제안된 방법을 이용하여 이방성의 확대 축소 값 예측과 사형 행렬을 구하는 방법을 보였다. 제안하는 알고리즘은 지능 로봇의 패턴인식매칭을 위한 특징점 추출에 이용할 수 있다.

### 9. 참고문헌

- [1] R. T. Chin and C. R. Dyer, "Model-based Recognition in Robo Vision," ACM Computing Surveys, vol. 18, no. 1, pp. 67--108, 1986.
- [2] 김종환, 심현식, 김성호, 김홍수, 정명진, 김동환, 김용채, 박귀홍, 장준수, *로봇비전연구*, Kaist Press, 대전, 2002.
- [3] Wang Xiaohong and Zhao Rongchun, "A new method for image normalization," Proceedings of 2001 International Symposium on Intelligent Multimedia, Video and Speech processing, pp. 356--359, 2001.
- [4] Yani Zhang, Changyun Wen, Ying Zhang and Yeng Chai Soh, "On the Choice of Consistent Canonical Form during Moment Normalization," *Pattern Recognition Letters*, vol. 24, no. 16, pp. 3205--3215, 2003.
- [5] T. H. Reiss, *Recognizing Planar Objects Using Invariant Image Features*, Springer-Verlag, 1993.
- [6] I. Rothe, H. Susse and K. Voss, "The Method of Normalization to Determine Invariants," *IEEE Transactions on Pattern Analysis and Machine Intelligence*, vol. 18, no. 4, pp. 366--376, 1996.
- [7] Soo-Chang Pei and Chao-Nan Lin, "Image normalization for pattern recognition," *Image and Vision Computing*, vol. 13, no. 10, 1995.
- [8] Alghoniemy, M.; Tewfik, A.H., "Geometric distortion correction through image normalization," *IEEE International Conference on Multimedia and Expo, ICME*, vol. 3, July-2, Aug. 2000.

본 연구는 한국과학재단 목적기초연구 (R-01-2003-000-10014-0) 지원으로 수행되었음.